

بررسی هزینه استفاده کنندگان از بزرگراه به هنگام عملیات اجرائی

حبيب... نصیری^۱; محمد پوررضا^۲

چکیده

محوطه عملیات راهسازی در بزرگراه‌ها به علت تراکم ترافیکی و تأخیر ناشی از آن، افزایش مصرف سوخت و استهلاک وسائل نقلیه، نشر آلاینده‌ها، کاهش اینمنی و افزایش تصادفات باعث بالا رفتن هزینه استفاده کنندگان از راه می‌شود. در این مطالعه پس از بررسی این هزینه‌ها توابعی ریاضی برای محاسبه هزینه‌های ناشی از تاخیر، افزایش مصرف سوخت و نشر آلاینده‌ها در محوطه عملیات راهسازی ارائه شد. با استفاده از برنامه شبیه‌سازی FRESIM و نتایج حاصل از آمارگیری، محوطه عملیات راهسازی مدل شد. تاخیر از طریق کسر زمان سفر در سرعت آزاد از زمان سفر حاصل از برنامه به دست آمد و نتایج نشان داد که تاخیر در بالادست باند مسدود به صورت تابعی نمایی از حجم ورودی، حجم وسائل نقلیه سنگین و طول محوطه عملیات راهسازی است و در باندهای مجاور باند بسته، تابعی از طول محوطه عملیات راهسازی و محدودیت سرعت می‌باشد. تأخیر در پایین دست محوطه عملیات راهسازی؛ که ناشی از افزایش شتاب است، مقدار ناچیزی است که از آن صرفنظر می‌شود. همچنین نتایج حاصل از بررسی هزینه‌ها نشان داد مهم ترین بخش از هزینه‌ها، هزینه‌های ناشی از تاخیر است.

کلمات کلیدی

محوطه عملیات راهسازی، هزینه استفاده کنندگان، تاخیر، شبیه‌سازی، FRESIM

Evaluation of Road User Costs at Work zones Areas

H. Nassiri; M. Pourreza K.

ABSTRACT

Highways work zone areas due to their traffic lane restrictions impose excess user costs mostly additional travel time, fuel consumption, air pollution, accident as well as wear and tear of vehicle. In this paper, mathematical functions for calculation of costs caused by delay, fuel consumption and air pollution are developed and a final function covering all of these factors is presented.

For this study, entry traffic volume to work zone area, vehicle travel time during the peak morning hours and peak afternoon hours were collected and by applying the FRESIM simulation program, work zone traffic behaviors were modeled. The amounts of delays in lanes adjacent to the closed lane were obtained as a function of closed lane length and vehicle speeds. The results indicate that in the upper portion of the closed lane, the amounts of delays are an exponential function of entry flow rate, heavy vehicles proportion of traffic volume, and close lane length. Comparisons of different factors indicated that delay was the major contributor of the total cost.

KEYWORDS

Work Zone, User Cost, Delay, Simulation, FRESIM

^۱ استادیار دانشکده عمران، دانشگاه صنعتی شریف: nassiri@sharif.edu

^۲ کارشناسی ارشد (گرایش راه و ترابری)، دانشگاه صنعتی شریف: mohammad_pourreza@yahoo.com

۱- مقدمه

خصوصاً در سال های اخیر، این مطالعات در مورد هزینه های تأخیر ناشی از تشکیل صفت در محوطه عملیات راهسازی کمتر است.

مارتینی^۳ و همکارانش با بررسی تئوری تأخیرهای ناشی از کاهش سرعت و تراکم، تاثیر استراتژی های مختلف بستن باند و طول بهینه محوطه های عملیات راهسازی را بررسی کردند^[۲]. شیبیویا^۴ و همکارانش در مطالعه ای به منظور زمانبندی حرکت وسایل نقلیه در محوطه های عملیات راهسازی نشان دادند که تأخیرهای ناشی از افزایش و کاهش شتاب ۲۵ تا ۴۰ درصد از کل تأخیر را دربر می گیرد^[۳].

مککی و همکارانش روشی برای بهینه کردن طول به منظور کمینه کردن هزینه های استفاده کنندگان از راه در بزرگراهها ارائه کردند. در این روش، چهارچوب حداقل کردن هزینه هایی ساخت و ساز، تأخیر، استهلاک و سیله نقلیه و هزینه های تصادف ارائه شد^[۴]. مارتینی و ژو^۵ با ارائه مدلی؛ که بیشتر بر اساس روابط و جداول موجود در دستنامه ظرفیت راهها تنظیم شده بود، هزینه های تأخیر صفت و سایل نقلیه را به مدل مککی اضافه کردند^[۲].

جیانگ^۶ در تحقیقی نشان داد که نرخ های جریان ترافیکی، سرعت های وسایل نقلیه و طول محوطه های عملیات راهسازی بیشترین تأثیر را بر هزینه های استفاده کنندگان می گذارد و هزینه های ناشی از تأخیر صفت و سایل نقلیه بیشترین تأثیر را دارد^[۵]. اسچونفلند و چین^۷ مدلی برای جاده های دو باند با در نظر گرفتن هزینه های نگهداری و هزینه های تأخیر ارائه کردند^[۶].

دلوار و پاپاگیانانکیس^۸ در تحقیقی به مقایسه هزینه های تأخیر و هزینه های عملیات های مختلف نگهداری، ترمیم و تعمیر پرداختند و نشان دادند در حجم های زیاد، هزینه های ناشی از تأخیر می تواند تأثیر چشم گیری در تصمیم گیری های مربوط به تعمیر و ترمیم راه بگذارد^[۷]. در تحقیقی دیگر که دیکسون^۹ و همکارانش انجام دادند، با استفاده از روش شبیه سازی ترافیکی مايكروسکوپیک مدل هایی برای زمان سفر، مصرف سوخت و هزینه های اضافی استفاده کنندگان از راه ارائه شد^[۸].

۳- هزینه های ناشی از تأخیر

مطالعات انجام شده در زمینه محاسبه تاخیرها در محوطه عملیات راهسازی، نشان می دهد که این تاخیرها یا به وسیله توابع ریاضی یا با استفاده از شبیه سازی محوطه عملیات راهسازی و یا تلفیقی از دو روش یاد شده محاسبه می شوند. یکی از پارامترهای مورد نیاز توابع ریاضی در محوطه عملیات راهسازی پارامتر ظرفیت است. از این گذشته به منظور برآورد

امروزه همراه با نیاز به ساخت راههای جدید در کشورهای در حال توسعه، نگهداری و مرمت راههای ساخته شده نیز اهمیت زیادی پیدا کرده است. برای نگهداری و تعمیر راهها به بستن آنها و ایجاد محلهای کار در طول راه نیاز است، که به اصطلاح به آن محوطه عملیات راهسازی^۱ گفته می شود. در راهنمای ظرفیت راهها^۲ سال ۱۹۹۴ محوطه عملیات راهسازی این گونه تعریف می شود: در یک ناحیه از بزرگراه که فعالیت های نگهداری و ساخت و ساز واقع می شود و بر روی تعداد باندهای موجود برای حرکت ترافیکی اثر می گذارد و مشخصات عملکردی جریان ترافیک را در سرتاسر ناحیه تحت تأثیر قرار می دهد^[۱].

محوطه های عملیات راهسازی در بزرگراه ها با ایجاد گره های ترافیکی باعث افزایش تأخیر و زمان سفر استفاده کنندگان از وسایل نقلیه می شوند. از سوی دیگر، این اختلال در ترافیک باعث افزایش هزینه استفاده کنندگان از راه می شود.

در محاسبه هزینه های اضافی استفاده کنندگان از راه ابتدا به بررسی عوامل موثر در این هزینه ها بررسی و سپس از روش های مختلف، این هزینه ها محاسبه می شوند. هدف از این تحقیق به دست آوردن تابع هزینه استفاده کنندگان از وسایل نقلیه در محدوده عملیات راهسازی است. به طور کلی هزینه های استفاده کنندگان از راه شامل هزینه های ناشی از تاخیر، هزینه های اضافی از افزایش مصرف سوخت، هزینه های مربوط به افزایش نشر مواد آلاینده، هزینه های مربوط به تصادفات و استهلاک وسایل نقلیه است. در این مطالعه هزینه های مربوط به تصادفات و استهلاک وسایل نقلیه با توجه به عدم امکان دسترسی به آنها یا عدم وجود اطلاعات کافی در مورد آنها در نظر گرفته نشده اند.

۲- مروجی بر مطالعات پیشین

مطالعات مربوط به محوطه عملیات راهسازی را می توان بطور کلی در چهار حوزه زیر بررسی کرد:

- بررسی تصادفات و میزان ایمنی در این محوطه ها
- بررسی تأثیر ابزار کنترل ترافیک بر رفتار رانندگان و ایمنی در این مکان ها
- مشخصات جریان ترافیکی از قبیل سرعت، ظرفیت، تأخیر و طول صفت
- هزینه های که در آن استراتژی های بستن راه و طول بهینه بررسی می شوند.

علی رغم فراوانی مطالعات انجام شده در سه مورد اول

تاخیر ناشی از کاهش شتاب، به دست آوردن فاصله کاهش شتاب کار دشواری است. بنابراین، در این تحقیق از روش شبیه‌سازی برای مدل‌کردن شرایط محوطه عملیات راهسازی به منظور محاسبه تاخیرها به وجود آمده، استفاده شده است. از مطالعاتی که برای محاسبه هزینه‌های استفاده کنندگان از راه و برسی تأخیرها با استفاده از روش شبیه‌سازی محوطه عملیات راهسازی انجام شده است می‌توان به مطالعه و دیکسون و همکارانش اشاره کرد [۸]. در این تحقیق سه محوطه عملیات راهسازی؛ که دارای یک باند بسته از دو باند بودند مورد بررسی شد و به وسیله مقایسه میانگین سرعت در محدوده و نتایج حاصل از برنامه شبیه‌سازی، مدل پرداخت شد و آنگاه از مدل پرداخت شده در محاسبه تأخیرها استفاده شد. تأخیر به صورت زمان اضافه سفر است که با کسر زمان سفر در حالت وجود محوطه عملیات راهسازی از زمان سفر در حالت عدم وجود این محوطه به دست می‌آید.

۳-۱- شبیه‌سازی محوطه عملیات راهسازی

در این تحقیق از برنامه مایکروسکوپیک FRESIM برای شبیه‌سازی محوطه عملیات راهسازی استفاده شده است. انتخاب این مدل براساس نتایج تحقیقات متعددی است. اسکاباردویس^۱ و می^۲ در تحقیقی ۱۰ مدل مختلف شبیه‌سازی آزادراه را براساس ۶ معیار مختلف بررسی کردند. نتایج این تحقیق نشان داد که FRESIM یکی از دو مدل برتر برای شبیه‌سازی آزادراه هاست [۹].

اسکاردونیس در تحقیقی دیگر نشان داد که نرم‌افزار FRESIM برای بررسی تأثیر گزینه‌های مختلف هندسی، حوادث و تأثیرات محوطه عملیات راهسازی و روش‌های کنترل رمپ مدل برتر است [۱۰].

۳-۲- جمع‌آوری داده‌ها

هدف از جمع‌آوری داده‌ها و آمارگیری تهیه داده‌های واقعی برای پرداخت مدل برای اطمینان از کارایی برنامه در مدل کردن رفتار رانندگان و وضعیت ترافیکی موجود است. محل مورد نظر برای آمارگیری قسمتی از بزرگراه شیخ فضل‌ا... سوری در تهران حدفاصل روگذر جلال‌آل‌احمد و روگذر رسالت در جهت جنوب به شمال است که به دلیل عملیات حفاری در باند سوم بزرگراه (باند سرعت) به طول ۵۰۰ متر به طور کامل مسدود و به وسیله بلوكهای بتی و نوار زردرنگی از باند مجاور جدا شده بود.

رمپ‌های (شبیه راهه) ورودی و خروجی در نزدیکی باند بسته، به طوری که بتواند بر روی عملکرد رانندگان در این

محدوده تأثیر بگذارد، وجود نداشت و تنها عامل مؤثر بر روی تغییر رفتار رانندگان در این قسمت از مسیر، وجود عملیات راهسازی بود. از سوی دیگر، وجود پل عابر پیاده در نزدیکی محل به عنوان مکان مناسبی برای نصب دوربین فیلمبرداری موجب شد تا این محل برای برداشت داده‌ها و بررسی تأثیر باند بسته شده بر روی زمان سفر و تأخیر وسایل نقلیه مناسب تشخیص داده شود.

آمارگیری در روزهای سه‌شنبه ۱۴ شهریور ماه ۱۳۸۲ در فاصله زمانی ۶:۴۰ تا ۷:۴۵ بعد از ظهر و پنج‌شنبه ۱۶ شهریورماه از ساعت ۸ الی ۹ صبح انجام گرفت. در این دو روز شرائط جوی مناسب بود و آمارگیری در هوایی کاملاً صاف صورت گرفت.

به منظور تهیه ورودی‌های موردنظر برنامه اطلاعات و داده‌ها در دو زیر مجموعه ذیل جمع‌آوری شدند:

۳-۱-۲-۳- اطلاعات مربوط به طرح هندسی و وضعیت

روسانی

۱. طول ناحیه مسدود شده (طول کمان دوم)
۲. فاصله بین نقطه شروع آمارگیری و ابتدای باند مسدود (طول کمان اول)
۳. فاصله بین نقطه پایان آمارگیری و انتهای باند مسدود (طول کمان سوم)
۴. فاصله تابلوی محدودیت سرعت تا شروع محوطه عملیات راهسازی

۵. شبیه سیر

۶. خشک یا تر بودن سطح روسازی
۷. نوع روسازی (آسفالتی یا بتی)

۳-۲-۴- اطلاعات مربوط به ترافیک

۱. حجم ترافیک ورودی

۲. درصد وسایل نقلیه ورودی در هر باند
۳. ترکیب وسایل نقلیه ورودی
۴. زمان سفر وسایل نقلیه
۵. حداقل سر فاصله زمانی وسایل نقلیه ورودی به محوطه عملیات راهسازی

زمان سفر وسایل نقلیه در دو بخش برداشت شد. در بخش اول از نقطه‌ای در بالادست محوطه عملیات راهسازی که انسداد باند تأثیری بر رفتار رانندگان ندارد تا ابتدای باند مسدود و در بخش دوم از ابتدای محوطه عملیات راهسازی تا نقطه‌ای در پایین دست جریان ترافیک که تأثیر باند مسدود پایان می‌یابد.

۳-۲-۳- نحوه برداشت آمار

اطلاعات مربوط به طول کمان‌ها به وسیله متر عصایی

در هر بخش به دست آمد. بررسی اولیه نتایج آمارگیری نشان داد که زمان سفر در بخش دوم مستقل از حجم ورودی به شبکه است.

۳-۳- پرداخت مدل

در مرحله پرداخت مدل ابتدا با رجوع به راهنمای برنامه FRESIM و بعد از بررسی مطالعات انجام شده، پارامترهای پرداخت مشخص و مقادیر پیشفرض اولیه آنها تعیین شد که در جدول (۲) ارائه شده است.

قبل از شروع مرحله پرداخت، بررسی حساسیت مدل به منظور شناخت پارامترهایی که تاثیرات بیشتری بر شاخصهای کارائی (زمان سفر) دارند، انجام شد. با تغییر هر پارامتر از مقدار پیشفرض میزان تغییر در زمان سفر سنجیده شد. پارامترهایی که تاثیر چندانی بر زمان سفر نداشتند از چرخه پرداخت مدل حذف شدند و مقادیر پیشفرض آنها منظور گشت. بعد از بررسی حساسیت مدل نسبت به پارامترهای مختلف نتایجی حاصل شد که به عنوان رهنمودهای اصلی در مرحله پرداخت مدل به کار گرفته شدند. این نتایج شامل موارد زیر می‌شود:

۱. مهم ترین عامل تأثیرگذار بر زمان سفر در بخش دوم مسیر سرعت آزاد در کمان دوم است.

۲. پارامتر گلوبالی مسیر و پارامتر حساسیت مدل دنباله روی^{۱۰} وسائل نقلیه بیشترین تأثیر را بر روی زمان سفر به دست آمده در بخش اول مسیر دارد و دو پارامتر اصلی در پرداخت مدل هستند.

۳. میانگین زمان تأخیر آغاز حرکت و حداقل جدایی برای تولید وسائل نقلیه به دلیل عدم حساسیت زمان سفر نسبت به آنها از مرحله پرداخت مدل کثار گذاشته شدند.

براساس نتایج بررسی حساسیت مدل، ابتدا با تغییر سرعت آزاد در کمان دوم، زمان سفر در بخش دوم با زمان سفر مشاهده شده در محل مطابقت داده شد. نتایج حاصل زمان سفر در بخش دوم برای مدل پرداخت شده در جدول (۴) و در جدول (۵) نیز نتایج آزمون χ^2 به منظور مقایسه نتایج شبیه‌سازی و آمارگیری نشان داده شده است.

در پرداخت مدل برای زمان سفر حاصل در بخش اول براساس داده‌های ترافیکی روز ۱۴ ام آنالیز حساسیت نشان داد که مدل نسبت به پارامتر گلوبالی و پارامتر دنباله رو وسائل نقلیه حساسیت بیشتری از خود نشان می‌دهد. در این مرحله در هر گام تمام پارامترها ثابت نگاه داشته شد و تنها با تغییر یکی از پارامترها، میزان تأثیر آن بر روی زمان سفر سنجیده شد. این مراحل برای تمام پارامترها انجام و نتایج آن ثبت و به

انجام شد. طول کمان اول ۳۹۴ متر، طول ناحیه مسدود ۵۱۰ متر و طول کمان سوم ۲۰۰ متر و فاصله اولین تابلوی محدودیت سرعت 30 km/hr از ابتدای باند مسدود در حدود ۲۷۶ متر به دست آمد. شیب مسیر در حدود ۲ درصد مثبت درنظر گرفته شد. میزان حجم ورودی و درصد وسائل نقلیه به وسیله فیلمبرداری برداشت شد و با بازبینی مکرر فیلم استخراج شد. دوربین فیلمبرداری بر روی پل عابر در ابتدای کمان اول نصب شد. حداقل زمان رسیدن وسائل نقلیه (سر فاصله زمانی) با بررسی فیلم برداشت شده در محل ورودی حاصل شد. این زمان حداقل زمان جدایی بین ورود دو وسیله نقلیه است که در حدود ۱ ثانیه است.

تأخر به وجود آمده ناشی از کاهش و افزایش شتاب در بالادست و پایین دست باند مسدود، حرکت کند شونده در طول باندهای مجاور باند بسته و تأخیر ناشی از تشکیل صفحه در بالادست باند مسدود است. به منظور درنظر گرفتن تمام این تأخیرها لازم بود تا زمان سفر در طول فاصله مشخص قبل از شروع انسداد باند و بعد از اتمام انسداد باند سرعت به دست آید تا تمام بخش‌های تأخیر بیان شده را در بر گیرد.

برای برداشت زمان سفر در دو بخش ذکر شده، آمارگیرها به سه گروه تقسیم شدند. گروه A در شروع کمان اول مسئولیت ثبت زمان ورود و سه رقم سمت راست پلاک وسائل نقلیه نمونه (پیکان‌های سفید) شدند. در خروجی؛ یعنی انتهای کمان سوم نیز گروه C با شش نفر آمارگیر مسئول ثبت زمان خروج و ثبت سه رقم سمت راست پلاک وسائل نقلیه نمونه بودند. گروه B با چهار آمارگیر (در دو باند) مسئول ثبت زمان ورود و سه رقم سمت راست پلاک وسائل نقلیه نمونه ورودی به داخل محوطه عملیات راهسازی بودند.

در جداول (۱) و (۲) خلاصه نتایج حاصل از آمارگیری مشاهده می‌شود. ستون اول و دوم در این جداول نشان‌دهنده دوره‌های پنج دقیقه‌ای برداشت است. ستون سوم نشان‌دهنده حجم‌های ورودی در دوره‌های پنج دقیقه‌ای است که با تکرار مشاهده فیلم برداشت شده در محل به دست آمد. در دو ستون آخر، زمان سفر مربوط به بخش اول و بخش دوم محوطه عملیات راهسازی نشان داده شده است. بخش اول شامل بالادست باند مسدود از محلی که باند مسدود تأثیری بر سرعت وسائل نقلیه ندارد تا نقطه شروع آن می‌شود و بخش دوم از ابتدای باند مسدود آغاز شده و تا نقطه‌ای در پایین دست جریان؛ که باند مسدود تأثیری بر روی سرعت وسائل نقلیه ندارد، ادامه پیدا می‌کند. زمان سفر این دو بخش به وسیله آمارگیری دستی از وسائل نقلیه نمونه حاصل شد، این زمان‌ها با بدست آوردن اختلاف زمان بین ورود و خروج وسائل نقلیه

آنچه به طور منطقی انتظار می‌رود این است که با افزایش حجم ترافیک، میزان تأخیر نیز افزایش یابد. در شکل (۱) میزان تأخیر کل نسبت به حجم نشان داده شده است. این نمودار حاصل اجرای برنامه برای حجم‌های مختلف (به طور مجزا) در دوره‌های یک ساعته است که اجرای برنامه برای هر حجم چندین بار با هسته‌های مختلف تولید اعداد تصادفی تکرار شده است. بررسی شکل نشان می‌دهد که میزان افزایش تأخیرها در حدود ۴۰۰ وسیله نقلیه بر ساعت به ازای دو خط روندی کاملاً صعودی به خود می‌گیرد که بیانگر افزایش میزان تأخیر در بالادست محوطه عملیات راهسازی است. به منظور رفع این مشکل، شکل (۱) به دو قسمت تقسیم شد و هر قسمت با یکتابع تنبیه تخفین زده شد. به عبارتی، یک تابع برای حجم ورودی کمتر از ۴۰۰ Vph و تابعی دیگر برای حجم بیشتر از ۴۰۰ Vph که نتایج آن در جدول (۹) ارائه شده است.

جدول (۹): نتایج مدل دو ضابطه‌ای برای تأخیر ناشی از صفر

R^2	مدل ارائه شده	حجم ترافیک
.۹۷۲	$t_Q = e^{(-0.867 + 0.0006398 \times \text{Volume})}$	مساوی یا کمتر از ۴۰۰ Vph
.۹۷۹	$t_Q = e^{(-3/184 + 0.001775 \times \text{Volume})}$	بیشتر از ۴۰۰ Vph

شکل (۲) بیانگر میزان تغییر در تأخیر کل برای حجم ورودی با درصد‌های مختلفی از وسایل نقلیه سنگین است. همان طور که ملاحظه می‌شود با افزایش درصد وسایل نقلیه سنگین، تأخیرها در حجم ورودی کمتری به افزایش ناگهانی شروع می‌کنند. این حجم‌های ورودی که از آن به بعد روند افزایش تأخیر بسیار زیاد می‌شود به گونه‌ای نشان دهنده ظرفیت محوطه عملیات راهسازی است. نتایج مدل سازی میزان تأخیر در صفحه برای حجم‌های کمتر از حجم بحرانی (ظرفیت) و حجم‌های بالاتر از حجم بحرانی که شامل مقادیر مربوط به درصد وسایل نقلیه سنگین مختلف است در جدول (۱۰) ارائه شده است.

جدول (۱۰): نتایج مدل دو ضابطه‌ای برای تأخیر ناشی از صفر (به صورت تابعی از حجم و درصد وسایل نقلیه سنگین)

R^2	مدل ارائه شده	حجم ترافیک
.۹۶۲	$t_Q = e^{(-1/182 + 0.0006438 \times \text{Volume} + 0.0205 \times \text{HV Percent})}$	مساوی یا کمتر از ۴۰۰ Vph
.۸۲۱	$t_Q = e^{(1/1.9 - 0.0009528 \times \text{Volume} + 0.04421 \times \text{HV Percent})}$	بیشتر از ۴۰۰ Vph

وسیله تکنیک‌های آماری تحلیل شد. براساس تحلیل‌های آماری ترکیب بهینه^۳ مقادیر پارامترها به دست آمد. ترکیب بهینه به صورت ترکیب مقادیر از پارامترهای پرداخت؛ که نتایج شبیه‌سازی را تولید می‌کنند و بیشترین تطبیق را با مشاهدات در محل دارند، تعریف می‌شوند. روش به دست آوردن ترکیب به این گونه بود که بعد از تغییر هر یک از پارامترهای پرداخت جهت تطبیق نتایج حاصل از شبیه‌سازی و آمارگیری آن پارامتر ثابت درنظر گرفته شد و آنگاه با تعیین پارامتر دیگر مجدداً نتایج حاصل از برنامه و نتایج حاصل از آمارگیری مقایسه شد. بعد از اتمام این کار و تعیین مقادیر تکاتک پارامترهای موثر مجدداً تغییر پارامترها برای تطبیق هر چه بیشتر نتایج آغاز شد و نهایتاً ترکیبی از پارامترها حاصل شد که بیشترین مطابقت را بین نتایج شبیه‌سازی و آمارگیری داشتند. در جدول (۶) مقادیر نهایی حاصل شده برای پارامترهای موردنظر مشاهده می‌شود. بعد از طی مراحل پرداخت و اعتباریابی مدل پرداخت شده، تأثیر سناریوهای مختلف بر میزان تأخیرها و هزینه‌های ناشی از آن را می‌توان بررسی و نهایتاً تابعی ریاضی برای محاسبه هزینه‌های تأخیر بر مبنای نتایج حاصل از شبیه‌سازی ارائه کرد.

۳-۴- اعتباریابی مدل پرداخت شده

از آنجایی که پرداخت مدل بر اساس آمار روز ۱۱۴ شهریور ۱۲۸۲ صورت گرفت، به منظور اعتباریابی مدل از آمار روز ۱۶ ام شهریور استفاده شد. مرحله اعتباریابی بدین ترتیب انجام شد که در صورت عدم تطبیق زمان سفر حاصل از برنامه با مشاهدات به مرحله پرداخت مدل بازگشته و با ترکیب دیگری از پارامترها، عملیات تکرار شد و این تکرار تا زمان رسیدن به پارامترهایی که براساس آن نتایج حاصل از شبیه‌سازی هم برای روز ۱۴ ام شهریور و هم برای روز ۱۶ ام با مشاهدات مطابقت پیدا کند، ادامه یافت در مرحله اعتباریابی از روش دیگری نیز استفاده شد که در آن ترکیب پارامترهای حاصل از مرحله پرداخت به گونه‌ای تغییر داده شد که با نتایج روز ۱۶ ام تطبیق کند. آنگاه دوباره برای اعتباریابی آن به سنجش مشاهدات روز ۱۴ ام پرداخته شد و این چرخه تا رسیدن به پارامترهایی که برای هر دو روز آمارگیری مناسب باشد، ادامه یافت. نتایج نهایی پارامترهای پرداخت روز ۱۶ ام در جداول (۷) و (۸) آمده است.

۳-۵- بررسی سناریوهای مختلف

با توجه به عدم امکان همیشگی دسترسی به نرم افزار FRESIM، و ارائه روشنی ساده برای محاسبه تأخیرها اقدام به ساخت مدلی ریاضی در این زمینه ساخته شد.

نفر- ساعت باشد [۱۱] آنگاه هزینه کل تأخیر در حدود ۱۳۹ میلیون ریال خواهد بود.

جدول (۱۲): مشخصات ترافیکی برای مثال مورد نظر

درصد کامپیون	درصد اتوبوس	درصد مینیبوس	درصد وانت	حجم ورودی (وسیله نقلیه) بر ساعت	دوره
۱	۲	۲	۸	۳۷۰۰	۱
۱	۲	۲	۶	۴۰۰۰	۲
۱	۲	۲	۸	۴۵۰۰	۳
۱	۲	۲	۷	۴۲۰۰	۴
۱	۲	۲	۶	۳۸۰۰	۵
۱	۲	۲	۶	۳۱۵۰	۶
۱	۲	۲	۶	۳۲۰۰	۷

جدول (۱۳): هزینه‌های ناشی از تأخیر

هزینه ده هزار (ریال)	تأخر person- (hour)	تأخر (veh-min)	تأخر (sec/veh)	دوره
۴۴۵	۷۹۷	۲۸۲۲	۶۲	۱
۱۱۷۸	۷۸۵	۱۰۱۱	۱۵۰	۲
۲۳۱۴	۲۲۰	۲۸۴۴۴	۲۸۸	۳
۴۴۹۰	۲۹۹۴	۳۸۵۴۴	۵۰۰	۴
۳۱۲۰	۲۰۸۰	۲۶۷۷۷	۴۲۲	۵
۱۰۸۴	۷۲۲	۹۲۰	۱۷۲	۶
۲۹۲	۱۹۰	۲۰۰	۴۷	۷
۱۳۹۲۲	۹۲۸۲	کل		

۴- هزینه‌های ناشی از افزایش مصرف سوخت

میزان مصرف سوخت وسایل نقلیه تابعی از نوع وسیله نقلیه و سرعت وسیله نقلیه است. در محوطه عملیات راهسازی افزایش هزینه‌های استفاده کنندگان از راه به دلیل افزایش مصرف سوخت به دلیل وجود چرخه‌های تغییر سرعت، تأخیر ایجاد شده در صفت و کاهش سرعت در باندهای مجاور باند بسته می‌باشد. افزایش مصرف سوخت ناشی از وجود محوطه عملیات راهسازی به دو بخش اساسی تقسیم می‌شود. بخش اول مربوط به افزایش مصرف سوخت به علت کاهش سرعت در باندهای مجاور باند بسته مربوط است که بوسیله فرمول زیر بیان می‌شود [۱۱]:

$$q'''(V) = 16.56 \times p''' \times V^{-1} \times e^{(0.0195 \times V)} \quad (1)$$

که در آن:

$q'''(V)$: میزان مصرف سوخت وسیله نقلیه نوع m در سرعت V (لیتر بر صد کیلومتر)

p''' : میزان مصرف سوخت وسیله نقلیه نوع m در سرعت 80 کیلومتر بر ساعت (لیتر بر کیلومتر)

در شکل (۲) تأثیر طول باند مسدود در حجم‌های مختلف بر میزان تأخیر نشان داده شده است. بعد از بررسی این میزان تأخیر در وسایل نقلیه سنگین مختلف، مدلی دو ضابطه‌ای به عنوان مدل نهایی؛ که نشان دهنده میزان تأخیر در محوطه عملیات راهسازی براساس حجم ورودی، درصد وسایل نقلیه سنگین مختلف و طول باند مسدود است، تولید شد که در جدول (۱۱) مشاهده می‌شود.

جدول (۱۱): نتایج مدل دو ضابطه‌ای برای تأخیر ناشی از صفت (به صورت تابعی از حجم، درصد وسایل نقلیه سنگین و طول باند مسدود)

حجم ترافیک	عدل ارائه شده	R ²
مساوی یا کمتر از ۴۴۰ Vph	$t_Q = e^{(1/979 + 0/005695 \times Volume + 0/02199 \times HV\% + 0/003912 \times Lwz)}$	۰/۹۵۶
بیشتر از ۴۴۰ Vph	$t_Q = e^{(1/1122 + 0/009277 \times Volume + 0/04161 \times HV\% + 0/002822 \times Lwz)}$	۰/۸۸۷

۶- محاسبه هزینه تأخیرها به وسیله شبیه‌سازی

برای محاسبه هزینه تأخیر در محوطه عملیات راهسازی هم می‌توان از برنامه FRESIM برای محاسبه تأخیرها و هم از مدل ریاضی ارائه شده در جدول (۱۱) استفاده کرد. تأخیر حاصل میانگین زمان از دست رفته به ازای هر وسیله نقلیه است و با ضرب در حجم ورودی دوره مورد نظر کل زمان تأخیر مربوط به آن دوره به دست می‌آید.

برای محاسبه هزینه تأخیر استفاده کنندگان از راه لازم است تا تأخیر به ازای کل وسایل نقلیه به تأخیر بر حسب نفر- زمان تبدیل شود. بدین منظور تعداد متوسط سرنشیین سواری و وانت ۲ نفر، مینی بوس ۲۵ نفر (به غیر از راننده)، اتوبوس ۴۰ نفر (به غیر از راننده) در نظر گرفته شد و سپس تأخیر بر حسب نفر- زمان حاصل شد.

برای مثال فرض می‌شود یک عملیات راهسازی در باند سوم (باند سرعت) به طول ۵۰۰ متر به مدت ۷ ساعت به طول انجامد و حجم‌های ترافیکی بر حسب دوره‌های یک ساعته با درصد وسایل نقلیه سنگین مختلف همانند جدول (۱۲) باشد.

بعد از اجرای برنامه با هسته‌های تصادفی مختلف یا استفاده از فرمول ریاضی تأخیر، میانگین زمان تأخیر در هر دوره و در نتیجه تأخیر کل در محوطه عملیات راهسازی بر حسب دقیقه و نفر- دقیقه به دست می‌آید که در جدول (۱۲) ارائه شده است. اگر متوسط ارزش زمان ۱۵۰ تومان برای هر

V : سرعت وسیله‌نقلیه (کیلومتر بر ساعت)

این رابطه؛ که در مطالعات طرح جامع حمل و نقل و ترافیک شهر شیراز مورد استفاده قرار شده است، مقدار پارامتر p''' را برای موتور^۵، سواری شخصی ۱۵، تاکسی و وانت ۱۸، مینیبوس ۲۵ و اتوبوس و کامیون برابر با ۴ فرض کرده است. سه وسیله نقلیه اول بنزینی و سه وسیله نقلیه دیگر گازوئیلی فرض شده‌اند.

بخش دوم به افزایش مصرف سوخت به علت ایجاد تاخیرهای ناشی از کاهش و افزایش شتاب و تاخیرهای ناشی از ایجاد صف مربوط است. با این فرض که در طی زمان تلف شده در بالادست باند مسدود، موتور وسیله‌نقلیه به صورت ایده‌آل مصرف سوخت دارد و با داشتن مصرف سوخت بر حسب زمان، جدول (۱۴) برای انواع وسایل نقلیه، می‌توان به محاسبه این بخش ازتابع افزایش مصرف سوخت پرداخت. فرض ذکر شده برای میزان افزایش مصرف سوخت مقداری کمتر از حالت واقعی است که به علت عدم وجود روابط مناسبی در مدلسازی مصرف سوخت چرخه‌های تغییر سرعت، این فرض به ناچار مورد قبول قرار گرفته است.

روابط نهایی حاصل برای محاسبه میزان افزایش مصرف سوخت عبارتند از:

اگر $: Q(i) < C_w$

$$C_{\text{gasoline}}(i) = [16.56 \times (V_w^{-1} \times e^{(0.0195V_w)}) - V_f^{-1} \times e^{(0.0195V_f)}] \times (P_{mb}(i) \times p_{mb}^m + P_B(i) \times p_B^m + P_{truck}(i) \times p_{truck}^m) \times \frac{L}{1000} \times Q(i) + [t_0(i) \times (3.7 \times 10^{-7} \times P_{mb}(i) + 3.7 \times 10^{-7} \times P_B(i) + 2.22 \times 10^{-7} \times P_{truck}(i)) \times Q(i)] \quad (2)$$

اگر $: Q(i) \geq C_w$

$$C_{\text{gasoline}}(i) = [16.56 \times (V_w^{-1} \times e^{(0.0195V_w)}) - V_f^{-1} \times e^{(0.0195V_f)}] \times (P_{mb}(i) \times p_{mb}^m + P_B(i) \times p_B^m + P_{truck}(i) \times p_{truck}^m) \times \frac{L}{1000} \times C_w + [t_0(i) \times (3.7 \times 10^{-7} \times P_{mb}(i) + 3.7 \times 10^{-7} \times P_B(i) + 2.22 \times 10^{-7} \times P_{truck}(i)) \times Q(i)] \quad (3)$$

که در آن :

- (i) t_0 : تاخیر ناشی از صف در دوره ۱ام بر حسب ثانیه بر وسیله‌نقلیه،
- L : طول محوطه عملیات راهسازی (متر)
- C_w : ظرفیت محوطه عملیات راهسازی (وسیله نقلیه در ساعت)

$C_{\text{gasoline}}(i)$: میزان افزایش مصرف گازوئیل در دوره ۱ام

(بر حسب لیتر) است

اگر $: Q(i) < C_w$

$$C_{\text{oil}}(i) = [16.56 \times (V_w^{-1} \times e^{(0.0195V_w)}) - V_f^{-1} \times e^{(0.0195V_f)}] \times (P_{pc}(i) \times p_{pc}^m + P_{van}(i) \times p_{van}^m) \times \frac{L}{1000} \times Q(i) + [t_0(i) \times (4.7 \times 10^{-4} \times P_{pc}(i) + 4.7 \times 10^{-4} \times P_{van}(i)) \times Q(i)] \quad (4)$$

اگر $: Q(i) \geq C_w$

$$C_{\text{oil}}(i) = [16.56 \times (V_w^{-1} \times e^{(0.0195V_w)}) - V_f^{-1} \times e^{(0.0195V_f)}] \times (P_{pc}(i) \times p_{pc}^m + P_{van}(i) \times p_{van}^m) \times \frac{L}{1000} \times C_w + [t_0(i) \times (4.7 \times 10^{-4} \times P_{pc}(i) + 4.7 \times 10^{-4} \times P_{van}(i)) \times Q(i)] \quad (5)$$

که در آن (i) نشانگر میزان افزایش مصرف بنزین در دوره ۱ام (لیتر) است.

اگر قیمت هر لیتر بنزین P_{oil} ریال و قیمت هر لیتر گازوئیل $P_{gasoline}$ ریال باشد آنگاه هزینه کل ناشی از مصرف اضافی سوخت C_C (بر حسب ریال) عبارت است از:

$$C_C = \left[(P_{oil} \times \sum_{i=1}^n C_{oil}(i)) + (P_{gasoline} \times \sum_{i=1}^n C_{gasoline}(i)) \right] \quad (6)$$

برای مثال حل شده در قسمت‌های قبل افزایش مصرف سوخت مطابق جدول (۱۵) است. در این جدول میزان افزایش مصرف سوخت بر حسب روابط بالا به عنوان روش اول و افزایش میزان مصرف سوخت بر حسب زمان کل تلف شده به عنوان روش دوم آمده است.

برای محاسبه هزینه‌های ناشی از مصرف سوخت قیمت هر لیتر بنزین ۸۰۰ ریال و قیمت هر لیتر گازوئیل ۲۰۰ ریال در نظر گرفته شد. هزینه کل ناشی از افزایش مصرف سوخت برای مثال مورد نظر در حدود ۴/۳ میلیون ریال برآورد شده است که در برابر هزینه‌های ناشی از تاخیر ناچیز است.

۵- هزینه‌های ناشی از افزایش نشر آلاینده‌ها

پس از محاسبه میزان افزایش مصرف سوخت و داشتن میزان نشر آلاینده‌ها به ازای مصرف یک لیتر بنزین یا گازوئیل، افزایش میزان نشر آلاینده‌ها محاسبه شد که در جدول (۱۶) میزان نشر این آلاینده‌ها بر حسب گرم به ازای مصرف یک لیتر بنزین یا گازوئیل ارائه شده است.

۶- قابع نهایی هزینه

تابع نهایی هزینه‌های اضافی استفاده کنندگان از راه از مجموع هزینه‌های سه بخش بیان شده حاصل می‌شود، که عبارت است از:

$$T_{UC} = C_{delay} + C_C + C_{emission} \quad (11)$$

که در آن T_{UC} نشانگر هزینه اضافی استفاده کنندگان از راه در محوطه عملیات راهسازی (بر حسب ریال) است. برای مثال مورد نظر کل هزینه‌ها در حدود ۱۴۸ میلیون ریال برآورده است که با توجه به دوره ۷ ساعت انسداد باند هزینه چشمگیری است.

۷- نتیجه

نتایج حاصل از پرداخت مدل FRESIM نشانگر آن است که این برنامه توانایی بالایی در مدل کردن محوطه‌های عملیات راهسازی دارد. البته مقادیر نهایی پارامترهای پرداخت نشان دهنده تقاضوت زیاد عملکرد رانندگان ایرانی نسبت به پیش‌فرضهای برنامه است. مدل‌های ریاضی به دست آمده براساس نتایج شبیه‌سازی نشان می‌دهد که مهم ترین پارامترهای تأثیرگذار بر تأخیر کل در محوطه عملیات راهسازی به ترتیب عبارتند از حجم ترافیک، درصد وسائل نقلیه سنگین و طول محوطه عملیات راهسازی. همچنین نتایج نشان داد که تأخیر در طول باند مسدود تابعی از محدودیت سرعت در محوطه عملیات راهسازی و طول باند مسدود است و تأخیر در بالادست محدوده تابعی نهایی از طول محوطه عملیات راهسازی، حجم ورودی و درصد وسائل نقلیه سنگین است. تأخیر در پایین‌دست محدوده تابعی نهایی از آن صرف‌نظر کرد.

بررسی هزینه‌ها نشان داد که هزینه‌های ناشی از تاخیر، بخش اصلی هزینه‌ها را تشکیل می‌دهد و هزینه‌های مربوط به نشر آلاینده‌ها و مصرف سوخت سهمن ناچیزی را به خود تخصیص داده است. یادآوری این نکته لازم است که هزینه‌های مربوط به مصرف سوخت با توجه به یارانه‌های اعطایی از سوی دولت محاسبه شده و از سوی دیگر میزان افزایش تولید آلاینده‌ها نیز با توجه به توابعی محاسبه شده است که توانایی کامل را در مدل کردن چرخه‌های تغییر سرعت دارند و ممکن است با استفاده از مدل‌هایی که این توانایی را دارند هزینه‌های بیشتر برای این بخش حاصل شود.

جدول (۱۶): میزان نشر آلاینده‌ها به ازای مصرف سوخت

نام آلاینده	میزان نشر CO (gr)	میزان نشر HC (gr)	میزان نشر NOx (gr)
یک لیتر بنزین	۲۵۰	۶۳	۱۲/۵
یک لیتر گازوئیل	ناچیز	۴/۷۰	۲۷

میزان نشر این آلاینده‌ها با استفاده از روابط زیر به دست آمد:

$$E_{CO} = 350 \times C_{Oil} \quad (7)$$

$$E_{HC} = 62 \times C_{Oil} + 4.75 \times C_{gasoline} \quad (8)$$

$$E_{NO_x} = 13.5 \times C_{oil} + 27 \times C_{gasoline} \quad (9)$$

که در آن E_{CO} ، E_{HC} و E_{NO_x} به ترتیب میزان اضافی نشر CO و NO_x بر حسب HC است.

اگر هزینه ناشی از نشر هر گرم از این مواد (بر حسب ریال) به ترتیب با P_{CO} ، P_{HC} و P_{NO_x} نشان داده شود آنگاه هزینه کل ناشی از افزایش نشر آلاینده‌ها $C_{emission}$ عبارت است از:

$$C_{emission} = (P_{CO} \times E_{CO} + P_{HC} \times E_{HC} + P_{NO_x} \times E_{NO_x}) \quad (10)$$

در جدول (۱۷) میزان افزایش نشر این آلاینده‌ها و هزینه‌های مربوط به آن برای مثال مورد نظر نشان داده شده است هزینه‌های مربوط به این بخش، حاصل نتایج تحقیقاتی است که در گزارش FHWA^{۱۴} ارائه نموده است [۱۲]. برای آلاینده CO هزینه‌ای بین ۲۰ تا ۱۰۰ دلار بر تن و برای آلاینده NO_x هزینه‌ای بین ۱۵۲۵ تا ۳۶۲۵ دلار بر تن در نظر گرفته شده است که برای مناطق شهری دارای ضریب ۱/۵ می‌باشد. در این تحقیق از میانگین این ارقام استفاده شده و هزینه‌ها بر حسب قیمت هر دلار ۹۰۰۰ ریال محاسبه شده است. برای HC نیز هزینه‌ای برابر با CO در نظر گرفته شده است. مجموع هزینه‌های ناشی از نشر سه آلاینده مورد نظر برای مثال حل شده در حدود ۴/۵ میلیون ریال است.

جدول (۱۷): هزینه‌های ناشی از افزایش نشر آلاینده‌ها

دوره	میزان افزایش نشر CO (gr)	میزان افزایش نشر HC (gr)	میزان افزایش نشر NOx (gr)
۱	۲۸۱۱۰	۵۱۲۰	۱۹۶۴
۲	۱۱۷۱۰۸	۲۱۲۳۰	۷۸۴۲
۳	۲۸۱۰۴۷	۶۹۲۵۸	۲۵۲۶۲
۴	۵۲۷۶۲۵	۹۶۰۲۸	۳۴۹۱۹
۵	۳۵۸۲۸۵	۶۰۲۲۱	۲۲۷۴۷
۶	۱۰۷۲۹۷	۱۹۰۵۸	۷۱۶۷
۷	۱۲۷۵۴	۲۲۳۷	۹۳۶
کل (گرم)	۱۵۲۲۴۳۰	۲۷۸۹۷۸	۱۰۱۸۴۵
هزینه (ریال)	۸۲۷۵۱۱	۱۵۰۶۴۷	۳۵۰۴۳۷۹

۸- ضمایم

جدول (۱): خلاصه نتایج روز اول آمارگیری (سه شنبه ۱۴۰۶ ماه شهریور ماه ۱۳۸۲)

زمان سفر بخش دوم (نایمه)	زمان سفر بخش اول (نایمه)	درصد وانت	درصد کامپیون (دوم محوره) سنه محوره)	درصد متیس بوس	درصد انجیوس	درصد وسایل نقليه باند سه	درصد وسایل نقليه باند دو	درصد وسایل نقليه باند پك	درصد وسایل نقليه در ساعت	كل وسایل نقليه در پنج دقیقه	زمان پایان	زمان شروع
۵۵	۶۳	۴	-	۱	۱	۴۷	۲۸	۱۵	۴۴۴۰	۳۷۰	۰۶:۴۰	۰۶:۴۰
۶۰	۷۸	۴	-	۱	۲	۴۰	۴۳	۱۲	۴۳۴۴	۳۶۲	۰۶:۵۰	۰۶:۵۰
۷۰	۵۴	۳	-	۴	۲	۴۹	۳۸	۱۳	۳۸۰	۳۲۰	۰۶:۵۰	۰۶:۵۰
۵۹	۶۰	۵	-	۱	۲	۴۰	۴۰	۱۵	۴۰۳۲	۳۳۶	۰۷:۰۰	۰۷:۰۰
۵۳	۵۲	۳	-	۲	۱	۴۶	۴۰	۱۴	۵۱۱۲	۴۶۶	۰۷:۰۰	۰۷:۰۰
۵۴	۵۲	۴	-	۱	۱	۴۷	۴۰	۱۳	۳۹۱۲	۳۲۶	۰۷:۰۰	۰۷:۰۰
۶۲	۵۰	۳	-	۴	۲	۴۷	۳۷	۱۶	۴۰۶۸	۳۳۹	۰۷:۱۰	۰۷:۱۰
۶۴	۵۱	۵	-	۳	۳	۴۷	۳۹	۱۶	۴۴۸۸	۳۷۶	۰۷:۱۰	۰۷:۱۰
۵۳	۵۳	۴	۱	۲	۲	۴۰	۴۳	۱۲	۴۲۹۶	۳۵۸	۰۷:۲۰	۰۷:۲۰
۵۵	۶۴	۶	-	۱	۱	۴۰	۴۳	۱۲	۵۰۴۰	۴۲۰	۰۷:۲۰	۰۷:۲۰
۵۷	۶۲	۴	-	۲	۱	۴۶	۴۲	۱۲	۴۲۰۰	۳۵۰	۰۷:۳۰	۰۷:۳۰
۵۸	۶۱	۳	-	۱	۱	۴۷	۴۱	۱۲	۴۶۴۴	۳۸۷	۰۷:۴۰	۰۷:۴۰
۵۵	۶۵	۳	-	۱	۱	۴۷	۴۱	۱۳	۴۷۰۴	۳۹۲	۰۷:۴۰	۰۷:۴۰

جدول (۲): خلاصه نتایج روز دوم آمارگیری (پنج شنبه ۱۶ ماه شهریور ماه ۱۳۸۲)

زمان سفر بخش دوم (نایمه)	زمان سفر بخش اول (نایمه)	درصد وانت	درصد کامپیون (دوم محوره) سنه محوره)	درصد متیس بوس	درصد انجیوس	درصد وسایل نقليه باند سه	درصد وسایل نقليه باند دو	درصد وسایل نقليه باند پك	درصد وسایل نقليه در ساعت	كل وسایل نقليه در پنج دقیقه	زمان پایان	زمان شروع
۵۷	۴۷	۵	-	۳	۳	۵۳	۳۶	۱۳	۳۱۶۸	۲۶۴	۰۸:۱۰	۰۸:۱۰
۵۸	۴۹	۶	-	۱	۱	۵۱	۳۹	۱۰	۴۰۹۲	۳۴۱	۰۸:۱۰	۰۸:۱۰
۵۵	۴۰	۶	-	۲	۱	۴۹	۳۸	۱۵	۳۳۳۶	۲۷۸	۰۸:۲۰	۰۸:۲۰
۵۶	۴۴	۴	-	۴	۱	۵۲	۳۷	۱۱	۳۴۰۸	۲۸۴	۰۸:۲۰	۰۸:۲۰
۵۷	۴۲	۶	-	۲	۰	۵۳	۳۶	۱۱	۳۴۲۰	۲۸۵	۰۸:۳۰	۰۸:۳۰
۵۴	۳۸	۷	-	۱	۱	۵۰	۲۸	۱۲	۳۳۶۰	۲۸۰	۰۸:۳۰	۰۸:۳۰
۵۸	۴۰	۴	-	۱	۱	۵۴	۳۳	۱۳	۳۳۹۶	۲۸۳	۰۸:۴۰	۰۸:۴۰
۵۹	۳۶	۹	۲	۲	۱	۵۵	۳۵	۱۰	۳۳۷۲	۲۸۱	۰۸:۴۰	۰۸:۴۰
۵۰	۴۲	۷	۱	۱	۲	۴۷	۴۱	۱۳	۳۵۲۸	۲۹۴	۰۸:۵۰	۰۸:۵۰
۵۶	۴۷	۸	-	۲	۱	۴۹	۳۹	۱۲	۳۶۹۲	۲۹۱	۰۸:۵۰	۰۸:۵۰
۶۲	۳۵	۶	۱	۱	۲	۵۴	۳۵	۱۱	۳۵۰۶	۲۹۲	۰۹:۰۰	۰۹:۰۰
۶۰	۴۲	۸	-	۱	۳	۵۷	۳۳	۱۰	۳۷۵۶	۳۱۳	۰۹:۰۰	۰۹:۰۰
۵۸	۴۱	۱۰	۱	۲	۲	۵۲	۳۸	۱۰	۳۹۷۲	۳۳۱	۰۹:۱۰	۰۹:۰۰

جدول (۳): مقادیر پارامترهای پرداخت

ردیف	پارامتر
۱	پارامتر گلوگاهی
۲	پارامتر حساسیت مدل دنباله روی وسایل نقليه
۳	میانگین زمان تأخیر آغاز حرکت
۴	زمان لازم برای مانور تغییر باند
۵	درصد رانندگانی که تسليم وسایل نقليه در حال تغییر باند می شوند
۶	حداقل جدایی برای تولید وسایل نقليه
۷	حداقل فاصله دنباله روی وسایل نقليه
۸	احتمال تغییر باند
۹	طول وسایل نقليه
۱۰	سرعت آزاد در بالادست (کمان اول)
۱۱	سرعت آزاد در مجاور باند بسته (کمان دوم)
۱۲	سرعت آزاد در پایین دست (کمان سوم)

جدول (۴): نتایج شبیه‌سازی مدل پرداخت شده برای آمار روز ۱۴ ام (بخش دوم مسیر)

فاصله اطمینان ٪۹۵	مقدار زمان سفر کمان اول در تکرارهای مختلف بر حسب ثانیه (مدل پرداخت شده)										دوره زمانی			شماره دوره
	حد پایین	حد بالا	انحراف معیار	میانگین	اجرای ششم	اجرای پنجم	اجرای چهارم	اجرای سوم	اجرای دوم	اجرای اول	زمان پایان دوره	زمان شروع دوره		
۵۸/۰۷	۵۸/۲۹	۰/۱۷	۵۸/۱۸	۵۸/۲۰	۵۷/۹۰	۵۸/۴۰	۵۸/۱۰	۵۸/۳۰	۵۸/۲۰	۵۸/۲۰	۰:۶:۴۵	۰:۶:۴۰	۱	
۵۷/۹۱	۵۸/۰۹	۰/۱۴	۵۸/۰۰	۵۸/۰۰	۵۷/۸۰	۵۸/۱۰	۵۷/۹۰	۵۸/۲۰	۵۸/۰۰	۵۸/۰۰	۰:۶:۵۰	۰:۶:۴۵	۲	
۵۷/۸۸	۵۸/۰۲	۰/۱۰	۵۷/۹۵	۵۷/۹۰	۵۷/۸۰	۵۸/۰۰	۵۷/۹۰	۵۸/۱۰	۵۸/۰۰	۵۸/۰۰	۰:۶:۵۵	۰:۶:۵۰	۳	
۵۸/۱۲	۵۸/۲۷	۰/۱۹	۵۸/۲۵	۵۸/۴۰	۵۸/۰۰	۵۸/۵۰	۵۸/۲۰	۵۸/۱۰	۵۸/۲۰	۵۸/۲۰	۰:۷:۰۰	۰:۶:۵۵	۴	
۵۷/۷۹	۵۷/۹۸	۰/۱۵	۵۷/۸۸	۵۸/۰۰	۵۷/۷۰	۵۷/۷۰	۵۸/۰۰	۵۸/۰۰	۵۷/۹۰	۵۷/۹۰	۰:۷:۰۵	۰:۷:۰۰	۵	
۵۸/۱۲	۵۸/۲۸	۰/۱۲	۵۷/۲۰	۵۸/۱۰	۵۸/۱۰	۵۸/۲۰	۵۸/۱۰	۵۸/۲۰	۵۸/۴۰	۵۸/۱۰	۰:۷:۱۰	۰:۷:۰۵	۶	
۵۸/۱۶	۵۸/۲۴	۰/۱۴	۵۸/۲۵	۵۸/۴۰	۵۸/۱۰	۵۸/۲۰	۵۸/۱۰	۵۸/۲۰	۵۸/۴۰	۵۸/۲۰	۰:۷:۱۵	۰:۷:۱۰	۷	
۵۸/۲۸	۵۸/۴۲	۰/۱۰	۵۸/۲۵	۵۸/۴۰	۵۸/۲۰	۵۸/۵۰	۵۸/۲۰	۵۸/۴۰	۵۸/۲۰	۵۸/۲۰	۰:۷:۲۰	۰:۷:۱۵	۸	
۵۸/۲۹	۵۸/۴۴	۰/۱۲	۵۸/۲۷	۵۸/۳۰	۵۸/۵۰	۵۸/۵۰	۵۸/۲۰	۵۸/۴۰	۵۸/۲۰	۵۸/۲۰	۰:۷:۲۵	۰:۷:۲۰	۹	
۵۸/۲۹	۵۸/۵۱	۰/۱۷	۵۸/۴۰	۵۸/۲۰	۵۸/۵۰	۵۸/۶۰	۵۸/۴۰	۵۸/۲۰	۵۸/۵۰	۵۸/۵۰	۰:۷:۳۰	۰:۷:۲۵	۱۰	
۵۷/۹۱	۵۸/۱۲	۰/۱۶	۵۸/۰۲	۵۸/۰۰	۵۷/۸۰	۵۸/۲۰	۵۷/۹۰	۵۸/۲۰	۵۸/۰۰	۵۸/۰۰	۰:۷:۳۵	۰:۷:۳۰	۱۱	
۵۷/۹۰	۵۸/۰۳	۰/۱۰	۵۷/۹۷	۵۸/۱۰	۵۷/۸۰	۵۸/۰۰	۵۷/۹۰	۵۸/۰۰	۵۸/۰۰	۵۸/۰۰	۰:۷:۴۰	۰:۷:۳۵	۱۲	
۵۸/۰۹	۵۸/۲۸	۰/۱۵	۵۸/۱۸	۵۸/۱۰	۵۸/۰۰	۵۸/۴۰	۵۸/۱۰	۵۸/۲۰	۵۸/۲۰	۵۸/۲۰	۰:۷:۴۵	۰:۷:۴۰	۱۳	

جدول (۵): بررسی تطابق مدل پرداخت شده و مشاهدات برای آمار روز ۱۴ ام (بخش دوم مسیر)

اختلاف مدل پرداخت شده و نتایج آمارگیری	نتایج آمارگیری	نتایج مدل پرداخت شده	نتایج مدل پرداخت شده	دوره زمانی		شماره دوره
				زمان پایان دوره	زمان شروع دوره	
۲/۱۸	۵۵	۵۸/۱۸	۵۸/۱۸	۰:۶:۴۵	۰:۶:۴۰	۱
-۷/۰۰	۶۵	۵۸/۰۰	۵۸/۰۰	۰:۶:۵۰	۰:۶:۴۵	۲
-۲/۰۵	۶۰	۵۷/۹۵	۵۷/۹۵	۰:۶:۵۵	۰:۶:۵۰	۳
-۰/۷۵	۵۹	۵۸/۲۵	۵۸/۲۵	۰:۷:۰۰	۰:۶:۵۵	۴
۴/۸۸	۵۳	۵۷/۸۸	۵۷/۸۸	۰:۷:۰۵	۰:۷:۰۰	۵
۴/۲۰	۵۴	۵۸/۲۰	۵۸/۲۰	۰:۷:۱۰	۰:۷:۰۵	۶
-۲/۷۵	۶۲	۵۸/۲۵	۵۸/۲۵	۰:۷:۱۵	۰:۷:۱۰	۷
-۰/۴۵	۶۴	۵۸/۳۵	۵۸/۳۵	۰:۷:۲۰	۰:۷:۱۵	۸
۵/۲۷	۵۲	۵۸/۲۷	۵۸/۲۷	۰:۷:۲۵	۰:۷:۲۰	۹
۳/۴۰	۵۵	۵۸/۴۰	۵۸/۴۰	۰:۷:۳۰	۰:۷:۲۵	۱۰
۱/۰۲	۰۷	۵۸/۰۲	۵۸/۰۲	۰:۷:۳۵	۰:۷:۳۰	۱۱
-۰/۰۳	۵۸	۵۷/۹۷	۵۷/۹۷	۰:۷:۴۰	۰:۷:۳۵	۱۲
۳/۱۸	۵۵	۵۸/۱۸	۵۸/۱۸	۰:۷:۴۵	۰:۷:۴۰	۱۳
۰/۴۶	میانگین اختلافها					
۲/۵۲	واریانس اختلافها					
۲/۲۲	حد بالا	فاصله اطمینان				
-۲/۲۰	حد پایین	میانگین ۹۵٪				

جدول (۶): مقادیر نهایی پارامترهای پرداخت

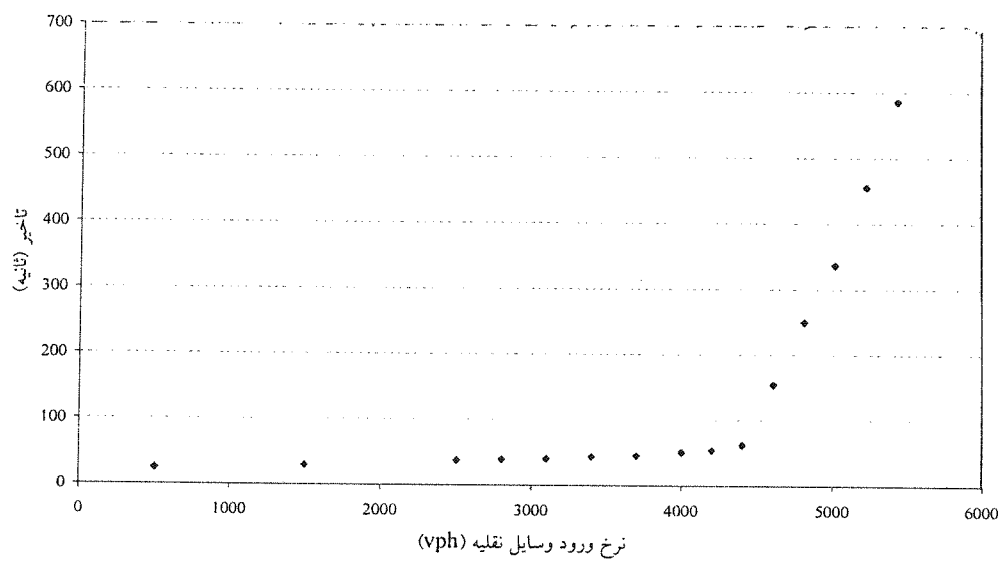
ردیف	پارامتر	واحد	مقدار پیشفرض برای شروع مرحله پرداخت	مقدار نهایی برای پارامترهای پرداخت
۱	پارامتر گلوگاهی	درصد	۲۵	۲۰
۲	پارامتر حساسیت مدل دنباله‌روی و سایل تقلیه	دهم ثانیه	۳-۱۲	۱-۱۰
۳	زمان لازم برای مانور تغییر باند	دهم ثانیه	۲۰	۲۰
۴	درصد رانندگانی که تسلیم و سایل تقلیه در حال تغییر باند می‌شوند	درصد	۱۰	۲۰
۵	حداقل فاصله دنباله‌روی و سایل تقلیه	فترت	۴	۳
۶	احتمال تغییر باند	-	-	۲
۷	سرعت آزاد در بالادست (کمان اول)	مايل بر ساعت	۵۰	۴۰

جدول (۷): اعتباریابی مدل پرداخت شده برای آمار روز ۱۶ آم (بخش دوم مسیر)

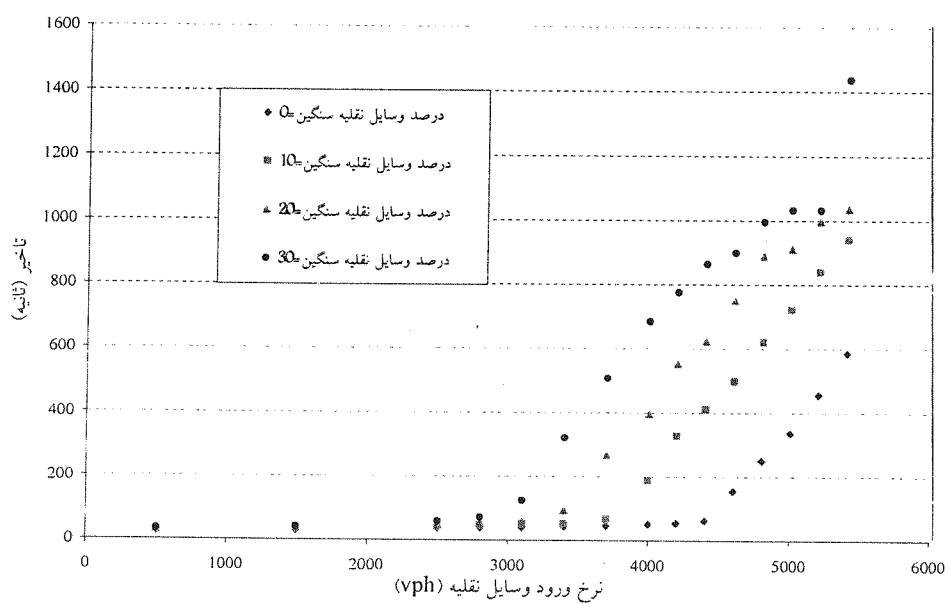
اختلاف مدل پرداخت شده و نتایج آمارگیری	نتایج آمارگیری	نتایج مدل پرداخت شده	دوره زمانی		شماره دوره
			زمان پایان دوره	زمان شروع دوره	
۰/۷۲	۵۷/۰۰	۵۷/۷۲	۰:۸:۱۰	۰:۸:۰۵	۱
-۰/۱۸	۵۸/۰۰	۵۷/۸۲	۰:۸:۱۵	۰:۸:۱۰	۲
۲/۷۲	۵۵/۰۰	۵۷/۷۲	۰:۸:۲۰	۰:۸:۱۵	۳
۲/۰۷	۵۷/۰۰	۵۸/۰۷	۰:۸:۲۵	۰:۸:۲۰	۴
۰/۹۰	۵۷/۰۰	۵۷/۹۵	۰:۸:۳۰	۰:۸:۲۵	۵
۴/۱۲	۵۴/۰۰	۵۸/۱۲	۰:۸:۳۵	۰:۸:۳۰	۶
-۰/۰۸	۵۸/۰۰	۵۷/۹۲	۰:۸:۴۰	۰:۸:۳۵	۷
-۱/۰۰	۵۹/۰۰	۵۷/۹۵	۰:۸:۴۵	۰:۸:۴۰	۸
۷/۸۸	۵۰/۰۰	۵۷/۸۸	۰:۸:۵۰	۰:۸:۴۵	۹
۱/۸۷	۵۶/۰۰	۵۷/۸۷	۰:۸:۵۵	۰:۸:۵۰	۱۰
-۴/۴۲	۶۲/۰۰	۵۷/۵۸	۰:۹:۰۰	۰:۸:۵۵	۱۱
-۲/۲۸	۶۰/۰۰	۵۷/۷۲	۰:۹:۰۰	۰:۹:۰۰	۱۲
-۰/۱۰	۵۸/۰۰	۵۷/۹۰	۰:۹:۱۰	۰:۹:۰۵	۱۳
۰/۹۴	میانگین اختلافها				
۱/۸۰	واریانس اختلافها				
۳/۱۴	حد بالا	فاصله اطمینان			
-۱/۲۶	حد پایین	۹۵٪ میانگین			

جدول (۸): اعتباریابی مدل پرداخت شده برای آمار روز ۱۶ آم (بخش اول مسیر)

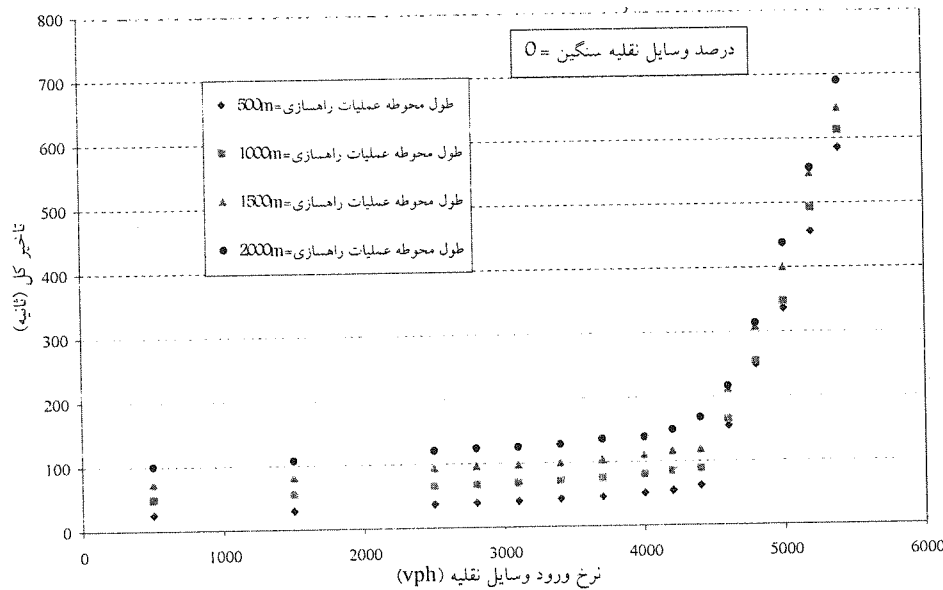
اختلاف مدل پرداخت شده و نتایج آمارگیری	نتایج آمارگیری	نتایج مدل پرداخت شده	دوره زمانی		شماره دوره
			زمان پایان دوره	زمان شروع دوره	
-۶/۱۰	۴۷	۴۰/۹۰	۰:۸:۱۰	۰:۸:۰۵	۱
-۱/۶۸	۴۹	۴۷/۲۲	۰:۸:۱۵	۰:۸:۱۰	۲
۲/۸۸	۴۰	۴۷/۸۸	۰:۸:۲۰	۰:۸:۱۵	۳
۲/۴۲	۴۴	۴۶/۴۲	۰:۸:۲۵	۰:۸:۲۰	۴
۲/۲۲	۴۲	۴۵/۲۲	۰:۸:۳۰	۰:۸:۲۵	۵
۷/۲۴	۲۸	۴۴/۱۲	۰:۸:۲۵	۰:۸:۲۰	۶
-۱/۲۰	۴۵	۴۲/۷۰	۰:۸:۴۰	۰:۸:۳۵	۷
۷/۲۰	۲۶	۴۲/۲۰	۰:۸:۴۵	۰:۸:۴۰	۸
۰/۹۸	۴۲	۴۲/۹۸	۰:۸:۵۰	۰:۸:۴۵	۹
-۴/۲۷	۴۷	۴۲/۷۳	۰:۸:۵۵	۰:۸:۵۰	۱۰
۷/۶۵	۳۵	۴۲/۶۵	۰:۹:۰۰	۰:۸:۵۵	۱۱
۱/۱۳	۴۲	۴۲/۱۳	۰:۹:۰۵	۰:۹:۰۰	۱۲
۲/۹۰	۴۱	۴۲/۹۰	۰:۹:۱۰	۰:۹:۰۵	۱۳
۱/۶۶	میانگین اختلافها				
۲/۴۲	واریانس اختلافها				
۴/۳۶	حد بالا	فاصله اطمینان			
-۱/۰۰	حد پایین	۹۵٪ میانگین			



شکل (۱): میزان تأخیر کل نسبت به حجم



شکل (۲): میزان تغییر در تأخیر کل برای درصدهای مختلفی از وسایل نقلیه سنتگین



شکل (۳): میزان حجم ورودی به محوطه به حجم ورودی به کل شبکه (درصد وسایل نقلیه سنگین = ۱۰)

جدول (۱۴): میزان مصرف سوخت وسایل نقلیه

نوع خودرو	نوع سوخت	مصرف سوخت (لیتر بر ثانیه)	بنزین	گازوئیل	اتوبوس	کامیون
-		$2/7 \times 10^{-2}$		$2/7 \times 10^{-2}$		$2/22 \times 10^{-2}$
		$4/7 \times 10^{-4}$				

جدول (۱۵): هزینه‌های ناشی از افزایش مصرف سوخت

دوره	هزینه کل (ریال)	افزایش مصرف بنزین (لیتر) (روش اول)	افزایش مصرف گازوئیل (لیتر) (روش اول)	افزایش مصرف گازوئیل (لیتر) (روش دوم)	افزایش مصرف گازوئیل (لیتر) (روش دوم)
۱	۸۸	۲۲	۱۲۲	۴۱۸	۱۵۸
۲	۲۲۰	۲۹۱	۱۱۷۵	۱۴۸	
۳	۱۰۸۹	۵۴۰	۱۰۹۲	۵۶	
۴	۱۰۰۷	۳۶۸	۱۱۰۶	۴۹۲	
۵	۱۰۲۴	۱۱۲	۳۸۴	۱۳۶	
۶	۳۰۷	۱۶	۱۰۴	۳۷	
۷	۳۶	۱۵۸۲	۴۹۳۵	۱۷۵۱	
کل	۴۳۷۸	۳۱۶۶۰۰	۳۹۴۸,۰۰۰	۳۵۰,۲۰۰	
هزینه کل (ریال)	۲,۵۰۲,۴۰۰				

مراجع -۹

- Dixon, K.K.; Vadakpat, J.; Stoffels, S.; "Road Cost Models for use in Network-level Pavement Management". Transportation Research Board 79th Annual Meeting, 2000. [۸]
- Skabardonis A.; May A.D.; "Simulation Models for Freeway corridors: state-of-the art and research needs," presented at the 77th Annual Meeting of the Transportation Research Board, Washington, D.C., January 1998. [۹]
- Skabardonis, A.; "Assessment of Traffic Simulation Models," University of California, Berkeley, Institute of Transportation Studies, 1999. [۱۰]
- مدل تخصیص ترافیک و عملکرد سیستم حمل و نقل
شیراز در سال ۱۳۷۸، مطالعات جامع حمل و نقل
شیراز، گزارش شماره ۷۹-۱۷، پژوهشکده حمل و نقل
شریف، مرکز مطالعات و تحقیقات حمل و نقل، دانشگاه
صنعتی شریف. [۱۱]
- "Highway Economic Requirement System (HERS)". Technical Report U.S. Department of Transportation, Federal Highway Administration, December 2000. [۱۲]
- "Highway Capacity Manual". National Transportation Research Board, Third Edition, Washington, D.C. 1994. [۱]
- Martinelli, D.R.; Xu, D., "Delay estimation and optimal length for four-lane divided freeway work zones". Journal of Transportation Engineering, March/April 1996. [۲]
- Shibuya, S.; Nakatsuji, T.; Fujiwara, T; and Matsuyama, E; "Traffic control at flagger-operated work zones on two-lane roads". Transportation Research Record 1529, 1996 [۳]
- Chien, S.; and Schonfeld, P.; "Optimal work zone lengths for four-lane highways". Journal of Transportation Engineering, March/April 2001. [۴]
- Yi, J.; and Shuoli; "Measuring and analyzing vehicle position and speed data at work zones using Global Positioning System". Transportation Research Board 80th Annual Meeting, 2001. [۵]
- Chien, S.; and Schonfeld, P.; "Optimizing work zones for two-lane highway maintenance projects". Journal of Transportation Engineering, March/April 2002. [۶]
- Delwar, M.; and Papagiannakis, T.; "Comparison agency and user delay costs from pavement 4-R activities". Transportation Research Board 78th Annual Meeting, 1999. [۷]

زیرنویس ها

- ^۱ Work Zone
^۲ Highway Capacity Manual (HCM)
^۳ Martinelli
^۴ Shibuya
^۵ Xu
^۶ Jiang
^۷ Schonfeld and Chien
^۸ Delwar and Papagiannakis
^۹ Dixon
^{۱۰} Skabardonis
^{۱۱} May
^{۱۲} Car-following Model
^{۱۳} Optimal Combination
^{۱۴} Highway Economic Requirement System